

Algorithmen zur Visualisierung von Graphen

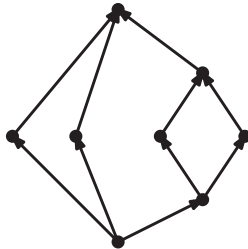
Serienparallele Graphen und Gitterzeichnungen

Vorlesung im Wintersemester 2010/2011

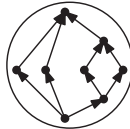
Robert Görke

02.02.2011

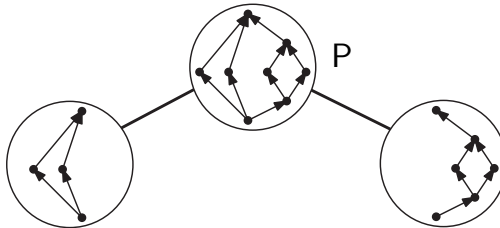
Serienparallele Graphen



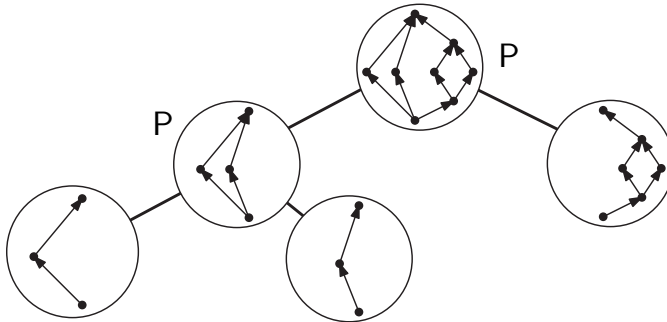
Serienparallele Graphen: Dekompositionsbaum



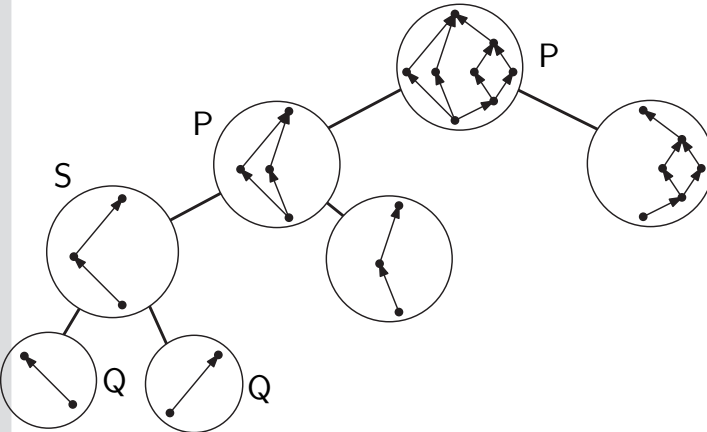
Serienparallele Graphen: Dekompositionsbaum



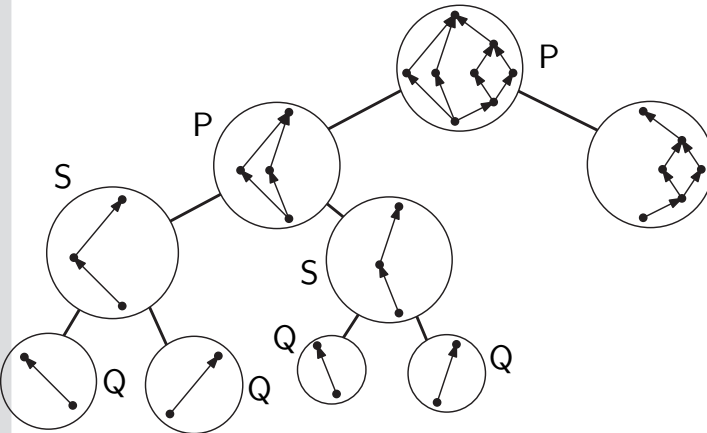
Serienparallele Graphen: Dekompositionsbaum



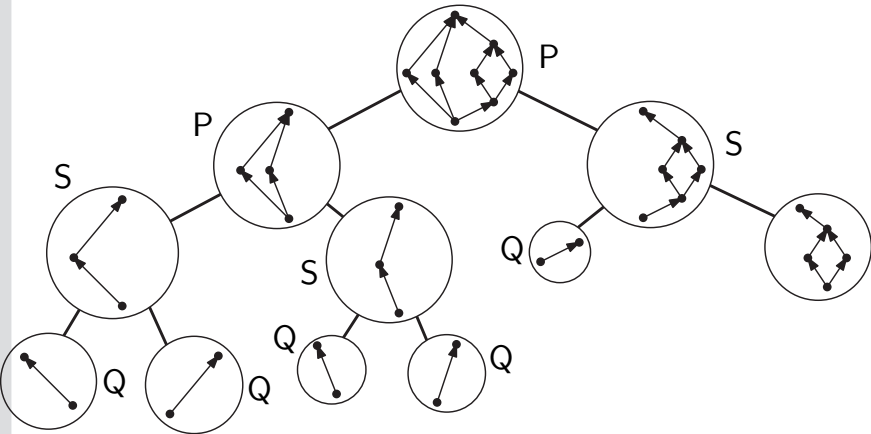
Serienparallele Graphen: Dekompositionsbaum



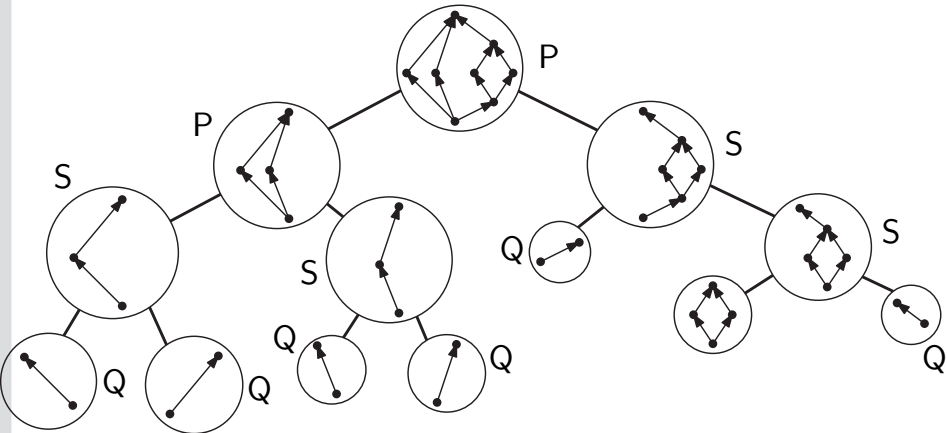
Serienparallele Graphen: Dekompositionsbaum



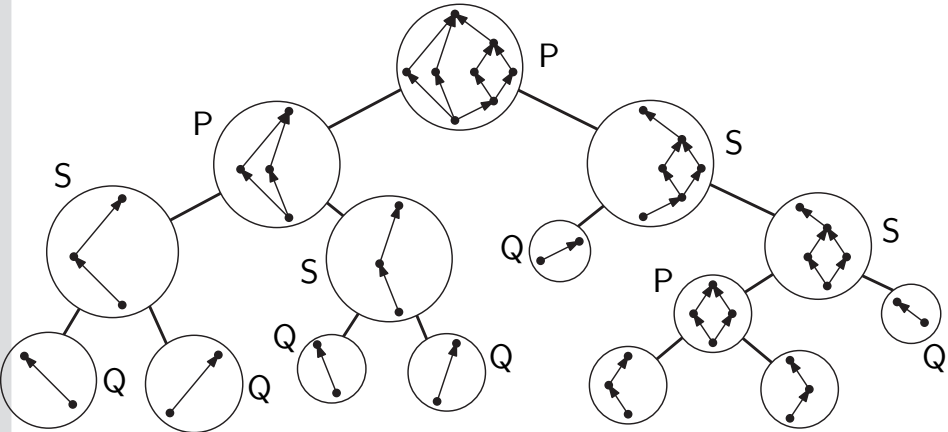
Serienparallele Graphen: Dekompositionsbaum



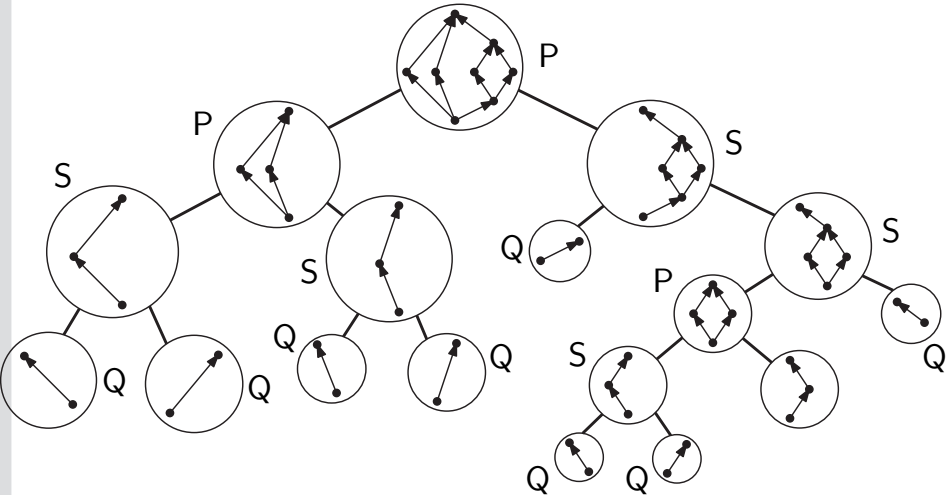
Serienparallele Graphen: Dekompositionsbaum

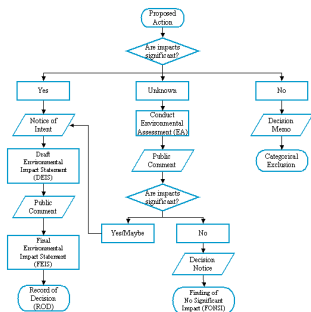


Serienparallele Graphen: Dekompositionsbaum

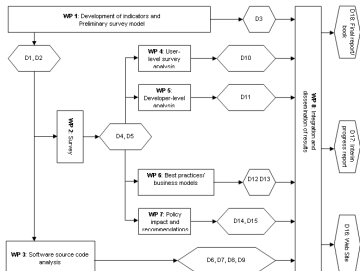


Serienparallele Graphen: Dekompositionsbaum





Ablaufdiagramme



PERT-Diagramme

(Program Evaluation and Review Technique)

Außerdem: Linearzeitalgorithmen für sonst NP-vollständige Probleme (z.B. Maximum Independent Set)

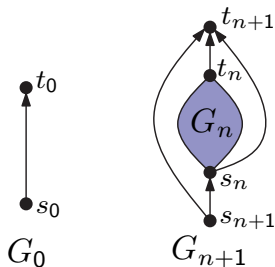
Satz: (Bertolazzi et al. '94)

Es gibt eine Familie G_n von Graphen mit $2n$ Knoten, deren Zeichnung einen Platzbedarf von $\Omega(4^n)$ hat.

Satz: (Bertolazzi et al. '94)

Es gibt eine Familie G_n von Graphen mit $2n$ Knoten, deren Zeichnung einen Platzbedarf von $\Omega(4^n)$ hat.

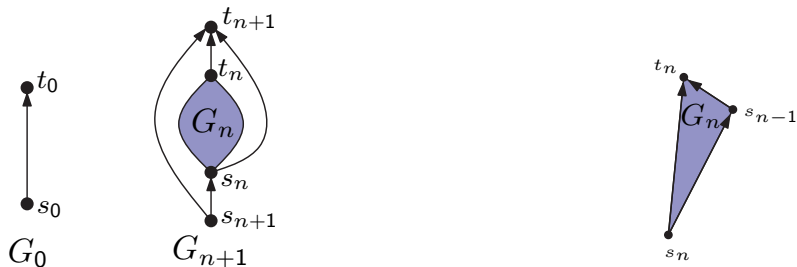
Beweis:



Satz: (Bertolazzi et al. '94)

Es gibt eine Familie G_n von Graphen mit $2n$ Knoten, deren Zeichnung einen Platzbedarf von $\Omega(4^n)$ hat.

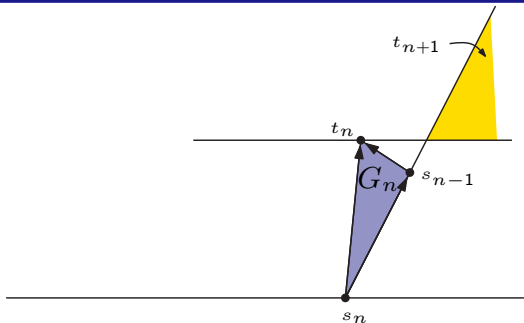
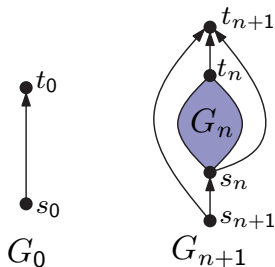
Beweis:



Satz: (Bertolazzi et al. '94)

Es gibt eine Familie G_n von Graphen mit $2n$ Knoten, deren Zeichnung einen Platzbedarf von $\Omega(4^n)$ hat.

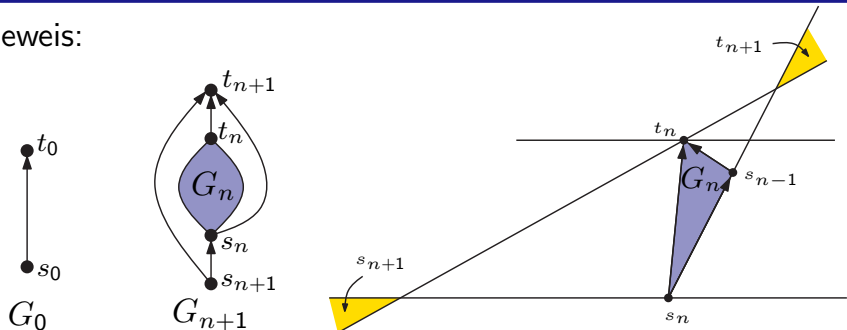
Beweis:



Satz: (Bertolazzi et al. '94)

Es gibt eine Familie G_n von Graphen mit $2n$ Knoten, deren Zeichnung einen Platzbedarf von $\Omega(4^n)$ hat.

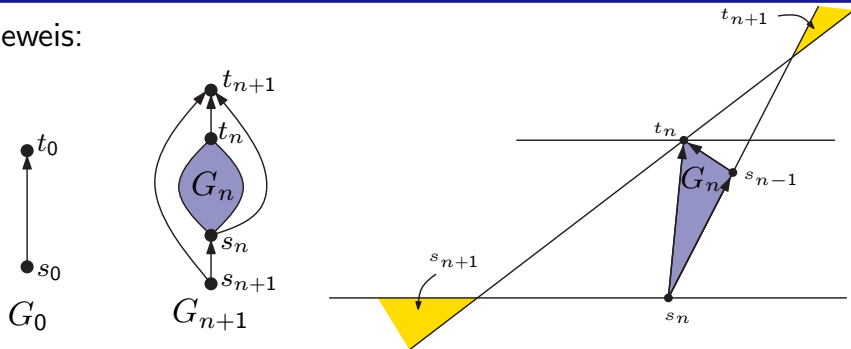
Beweis:



Satz: (Bertolazzi et al. '94)

Es gibt eine Familie G_n von Graphen mit $2n$ Knoten, deren Zeichnung einen Platzbedarf von $\Omega(4^n)$ hat.

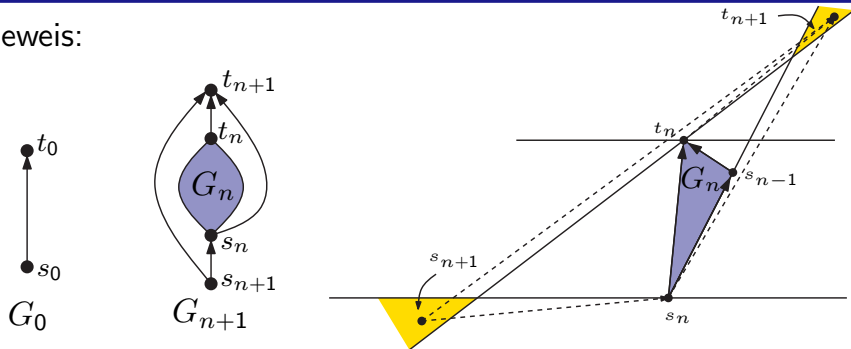
Beweis:



Satz: (Bertolazzi et al. '94)

Es gibt eine Familie G_n von Graphen mit $2n$ Knoten, deren Zeichnung einen Platzbedarf von $\Omega(4^n)$ hat.

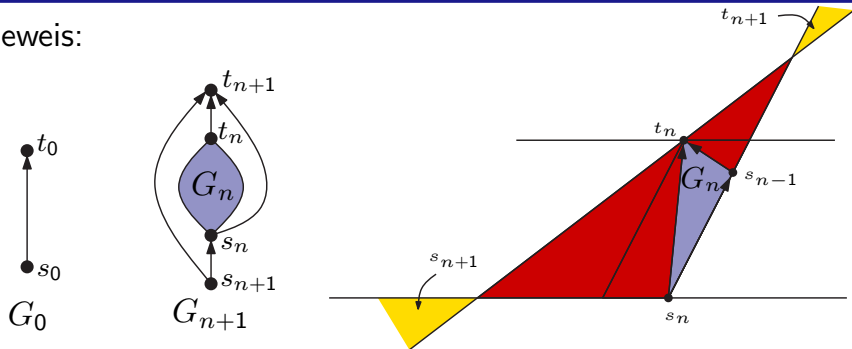
Beweis:



Satz: (Bertolazzi et al. '94)

Es gibt eine Familie G_n von Graphen mit $2n$ Knoten, deren Zeichnung einen Platzbedarf von $\Omega(4^n)$ hat.

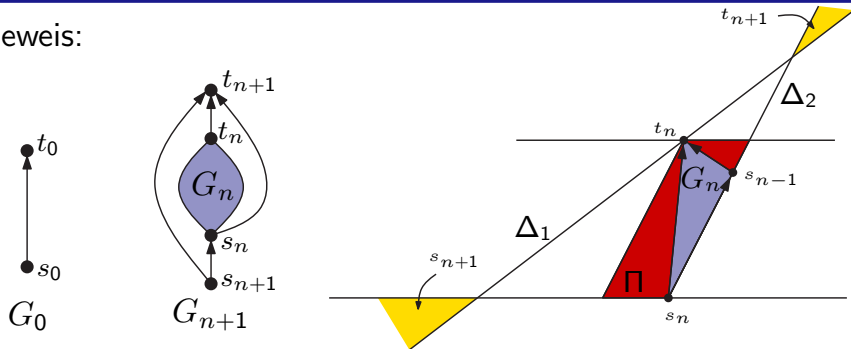
Beweis:



Satz: (Bertolazzi et al. '94)

Es gibt eine Familie G_n von Graphen mit $2n$ Knoten, deren Zeichnung einen Platzbedarf von $\Omega(4^n)$ hat.

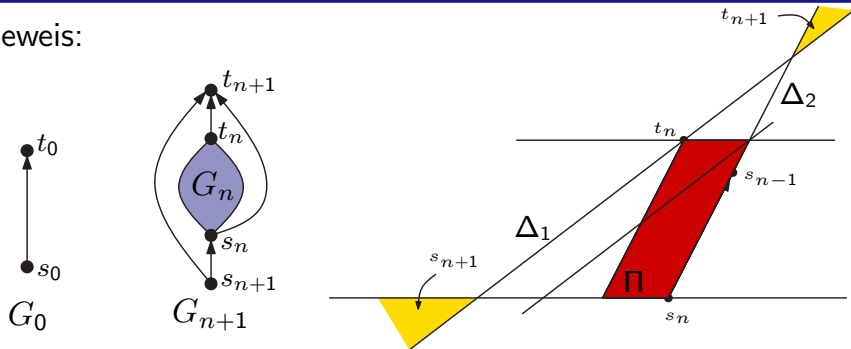
Beweis:



Satz: (Bertolazzi et al. '94)

Es gibt eine Familie G_n von Graphen mit $2n$ Knoten, deren Zeichnung einen Platzbedarf von $\Omega(4^n)$ hat.

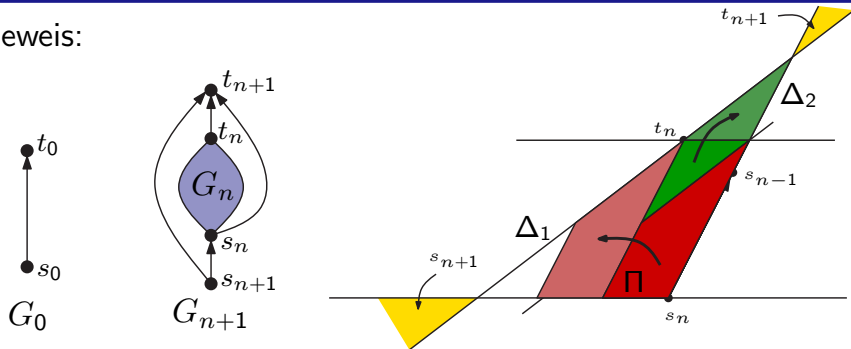
Beweis:



Satz: (Bertolazzi et al. '94)

Es gibt eine Familie G_n von Graphen mit $2n$ Knoten, deren Zeichnung einen Platzbedarf von $\Omega(4^n)$ hat.

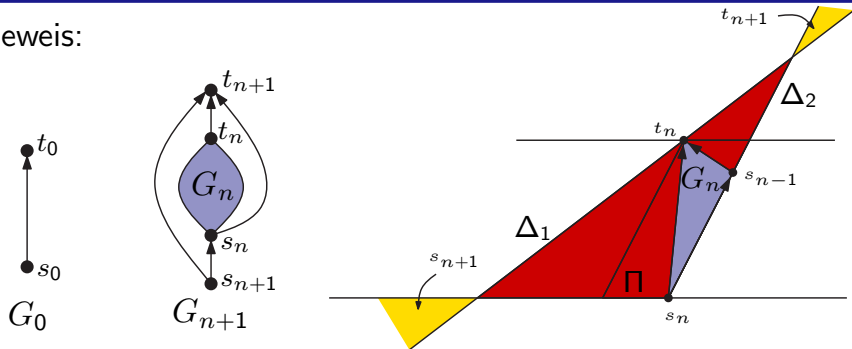
Beweis:

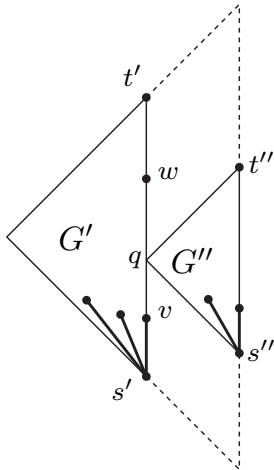


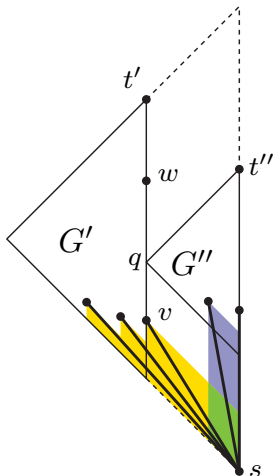
Satz: (Bertolazzi et al. '94)

Es gibt eine Familie G_n von Graphen mit $2n$ Knoten, deren Zeichnung einen Platzbedarf von $\Omega(4^n)$ hat.

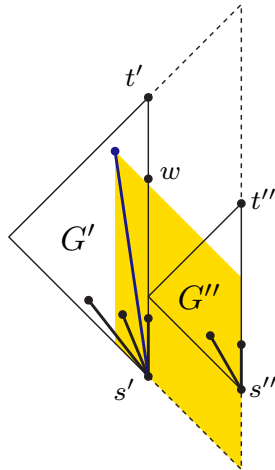
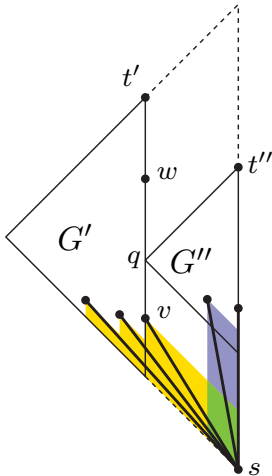
Beweis:



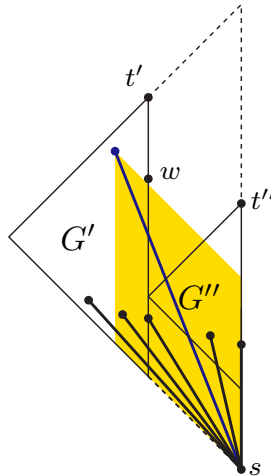
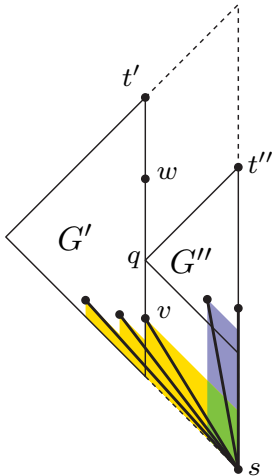


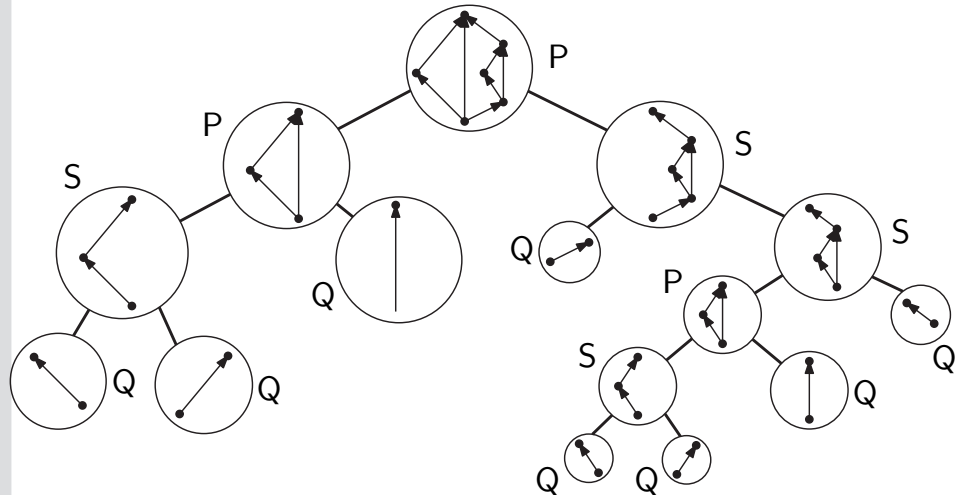


P-Komposition



P-Komposition





Definition: Automorphismen eines DAG

Ein Automorphismus eines DAG $G = (V, E)$ ist eine Knotenpermutation $\pi : V \rightarrow V$, die Adjazenzen respektiert und alle Kantenrichtungen erhält oder alle Kantenrichtungen umdreht:

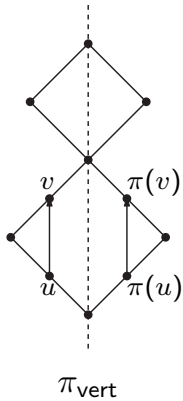
$$(u, v) \in E \Leftrightarrow (\pi(u), \pi(v)) \in E$$

oder

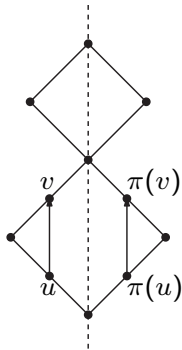
$$(u, v) \in E \Leftrightarrow (\pi(v), \pi(u)) \in E.$$

Die Automorphismen von G bilden mit der Hintereinanderausführung eine Gruppe.

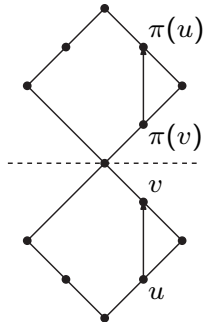
Symmetrien in SP-Graphen



Symmetrien in SP-Graphen

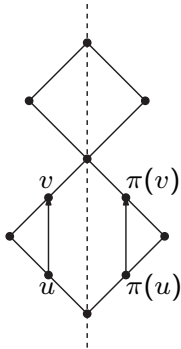


π_{vert}

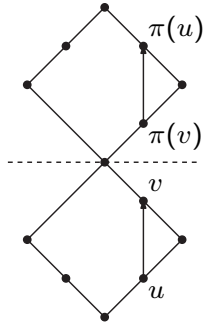


π_{hor}

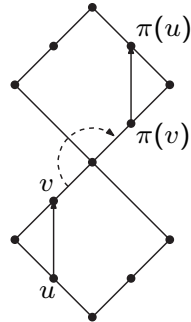
Symmetrien in SP-Graphen



π_{vert}

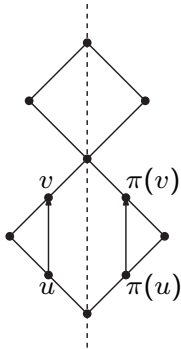


π_{hor}

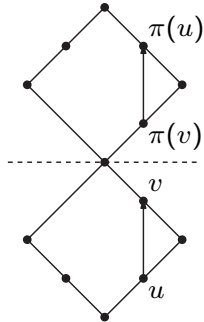


π_{rot}

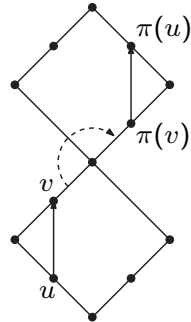
Symmetrien in SP-Graphen



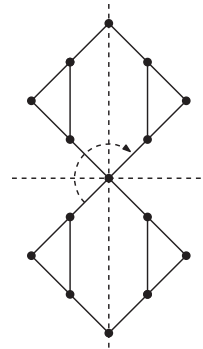
π_{vert}



π_{hor}



π_{rot}



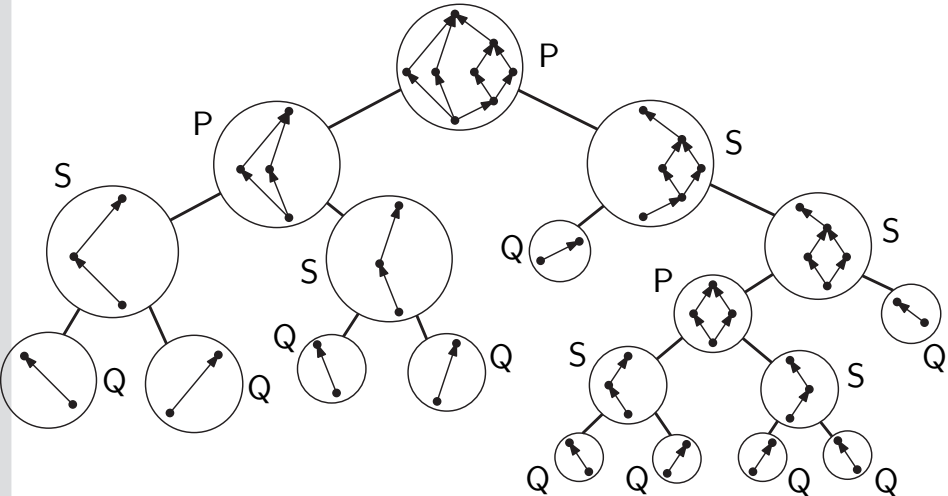
$\{\pi_{\text{vert}}, \pi_{\text{hor}}, \pi_{\text{rot}}\}$

Satz (Hong, Eades, Lee '00)

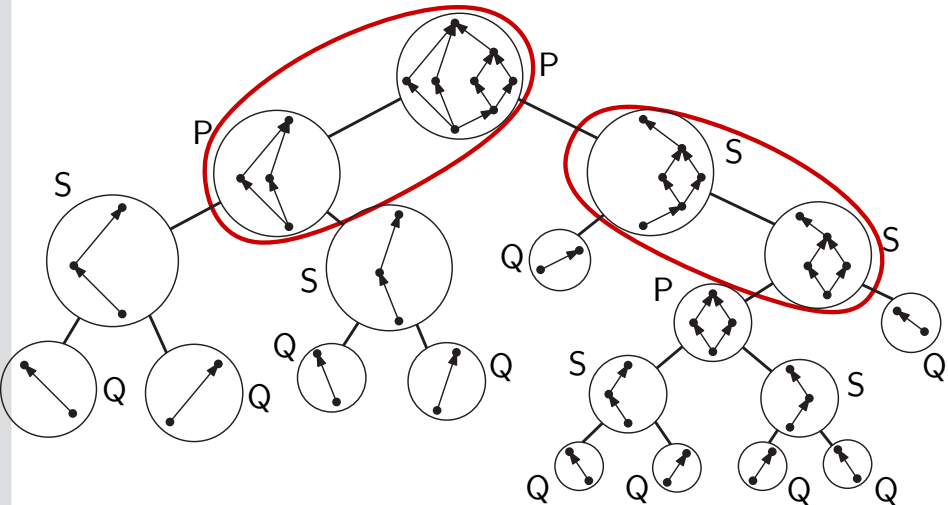
Die in einem kreuzungsfreien Aufwärtslayout eines SP-Graphen darstellbaren Symmetrien sind entweder

1. $\{\text{id}\}$
2. $\{\text{id}, \pi\}$ mit $\pi \in \{\pi_{\text{vert}}, \pi_{\text{hor}}, \pi_{\text{rot}}\}$
3. $\{\text{id}, \pi_{\text{vert}}, \pi_{\text{hor}}, \pi_{\text{rot}}\}$.

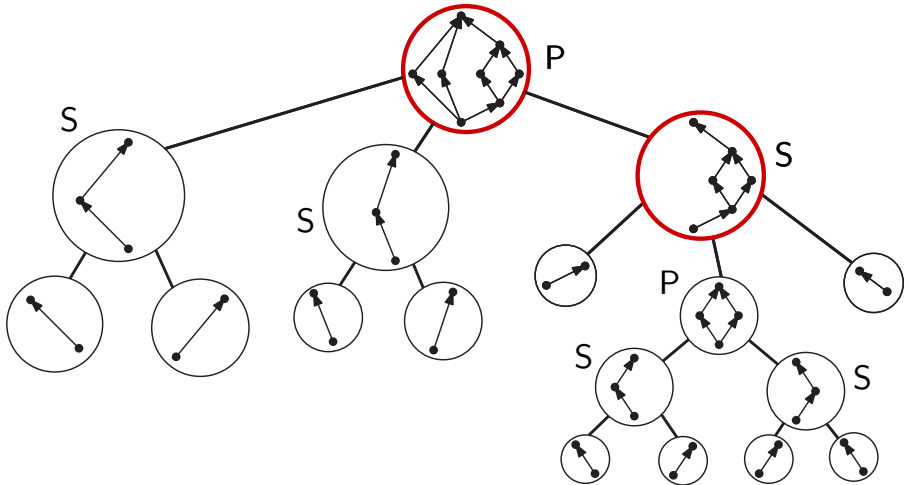
Knotenkodierung im Dekompositionsbaum

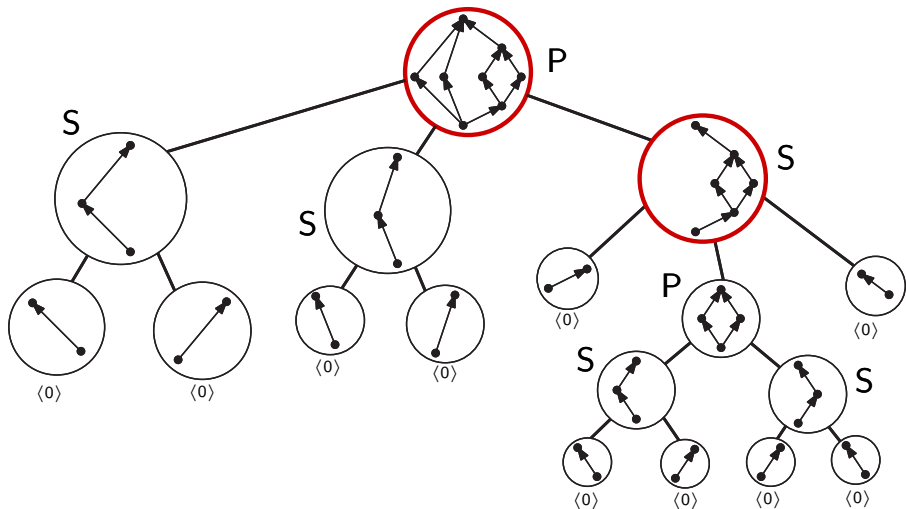


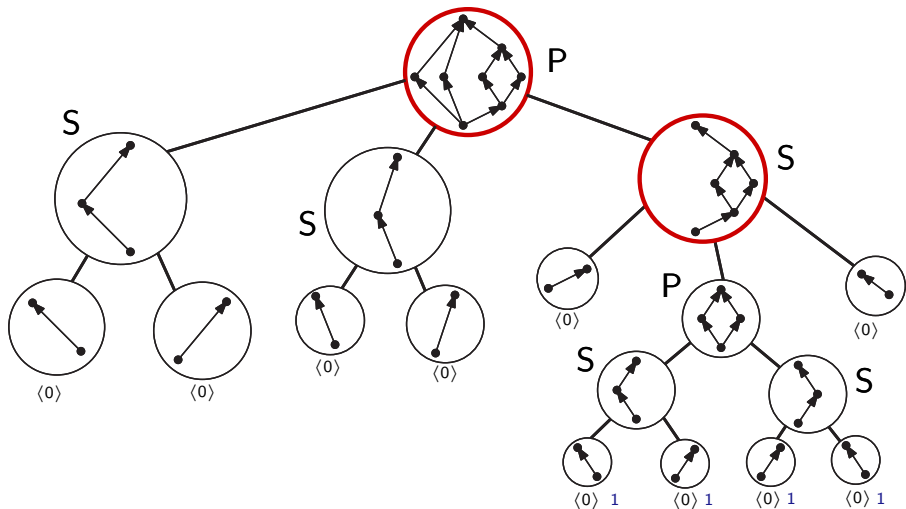
Knotenkodierung im Dekompositionsbaum

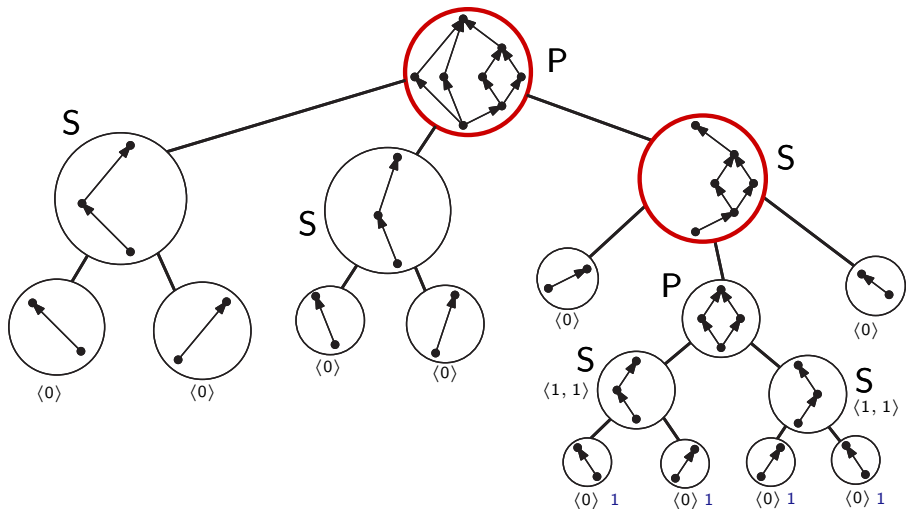


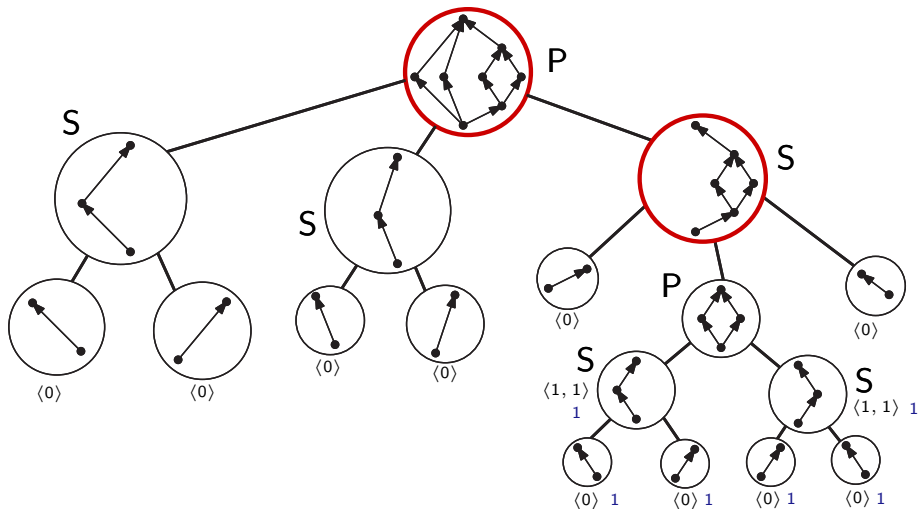
Knotenkodierung im Dekompositionsbaum

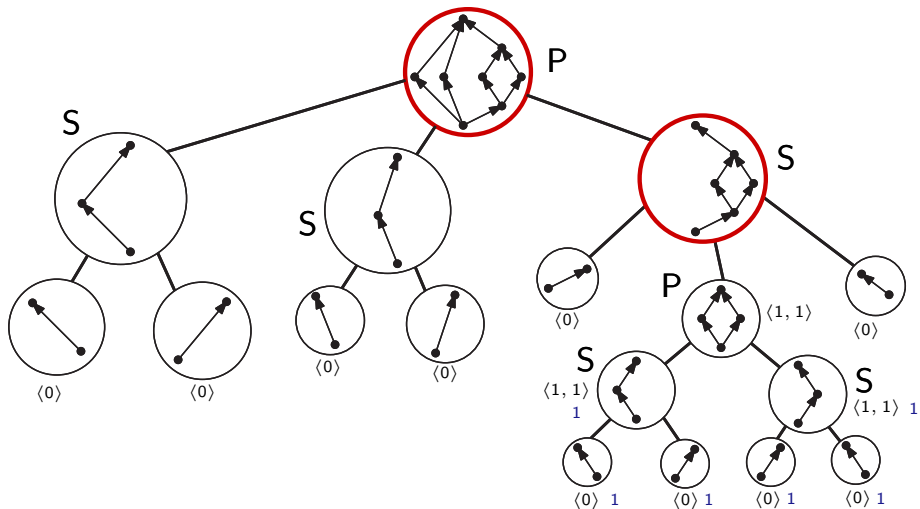


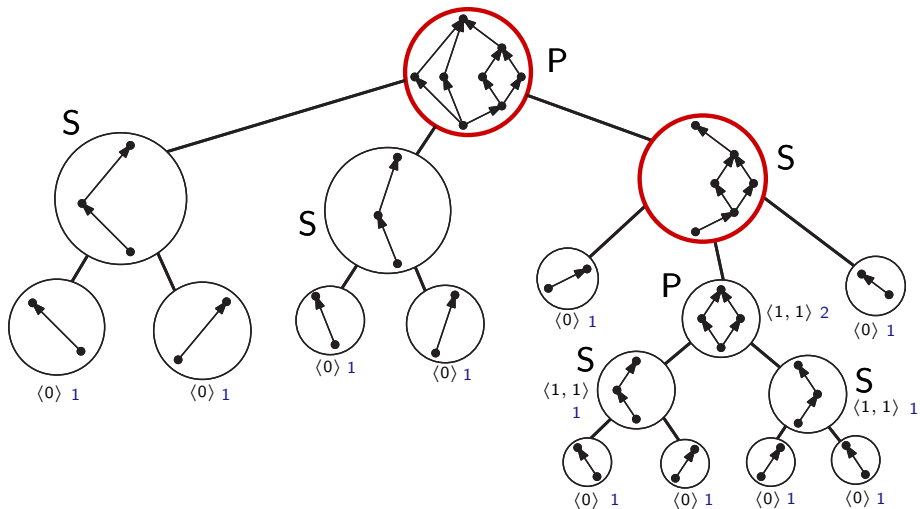




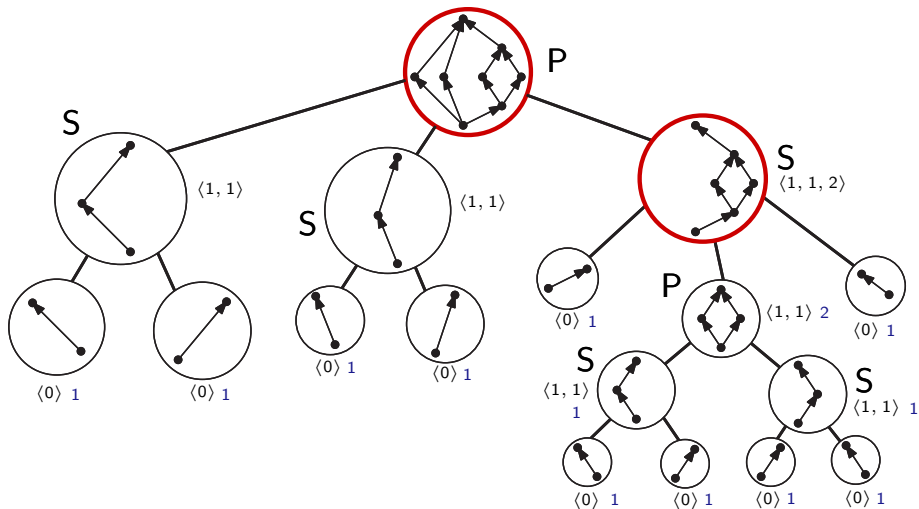




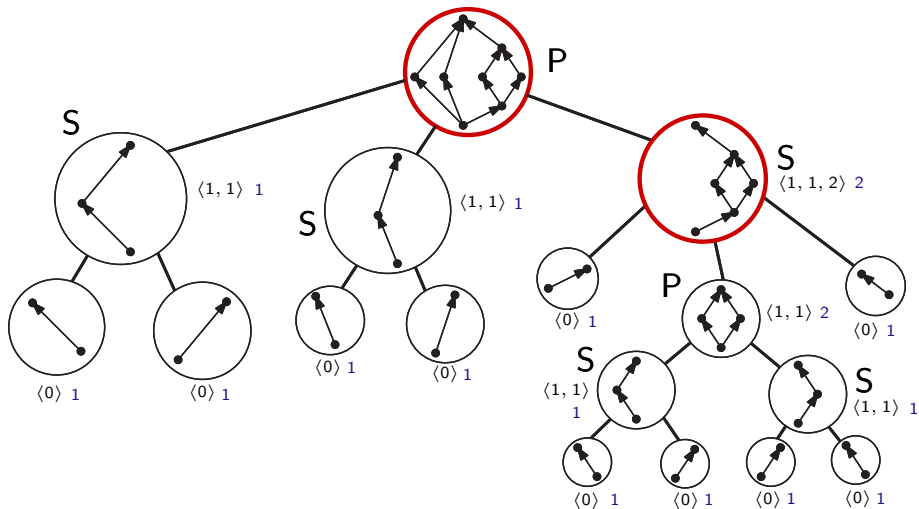




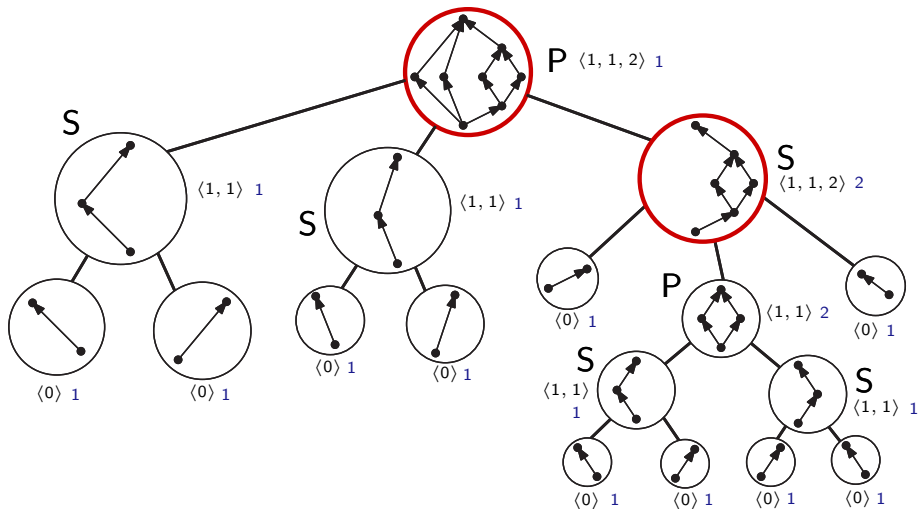
Knotenkodierung im Dekompositionsbaum



Knotenkodierung im Dekompositionsbaum



Knotenkodierung im Dekompositionsbaum



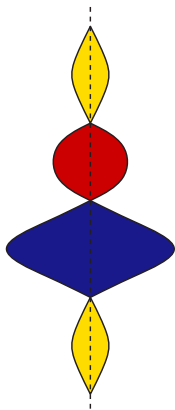
1. \forall Q-nodes: $C(G) \leftarrow \langle 0 \rangle$
2. $\forall t = \max_G \text{depth}(G), \dots, 0$
 - (a) \forall S,P-nodes G with $\text{depth}(G) = t$ and children G_1, \dots, G_k : $C(G) \leftarrow \langle c(G_1), \dots, c(G_k) \rangle$
if P-node: sort $C(G)$ non-descending
 - (b) Sort set of tuples at depth t lexicographically
 - (c) $\forall G$ at depth t : $c(G) \leftarrow$ index of G in sorting

Lemma (Hong et al. '98)

Gegeben kanonischer Dekompositionsbaum + Kodierung, und Knoten/Subgraph G mit Kindern G_1, \dots, G_k :

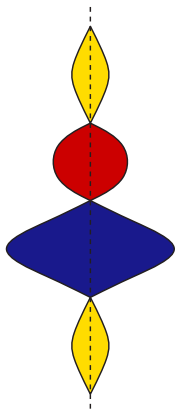
1. S-Knoten: G vertikal symmetrisch \Leftrightarrow alle G_i vertikal symmetrisch
2. P-Knoten: Betrachte Klassen $\mathcal{G}_j = \{G_i : c(G_i) = j\}$
 - (a) Alle $|\mathcal{G}_j|$ gerade $\Rightarrow G$ vert. symm.
 - (b) Einzig $\mathcal{G}_{\hat{j}}$ ungerade $\Rightarrow G$ vert. symm. gdw. $G_{\hat{j}} \in \mathcal{G}_{\hat{j}}$ vert. symm.
 - (c) Mehrere $|\mathcal{G}_j|$ ungerade $\Rightarrow G$ nicht vert. symm.

Beweisidee vertikale Symmetrie

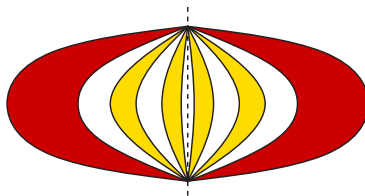


S-Knoten

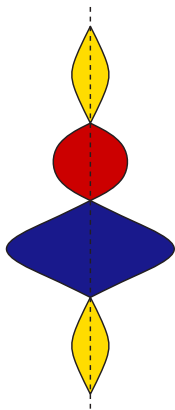
Beweisidee vertikale Symmetrie



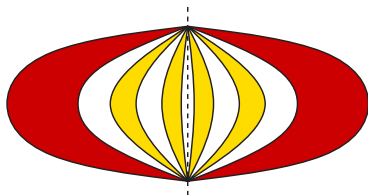
S-Knoten



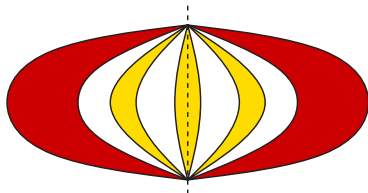
P-Knoten, alle Klassen gerade Anzahl



S-Knoten
alle Knoten v-symm.



P-Knoten, alle Klassen gerade Anzahl



P-Knoten, eine Klasse ungerade Anzahl & v-symm.

Gleiche Kodierung \wedge Tiefe \wedge Typ \Leftrightarrow isomorph

Idee: Induktion über Tiefe, aufsteigend

Anfang: Ein paar Q-Knoten \checkmark

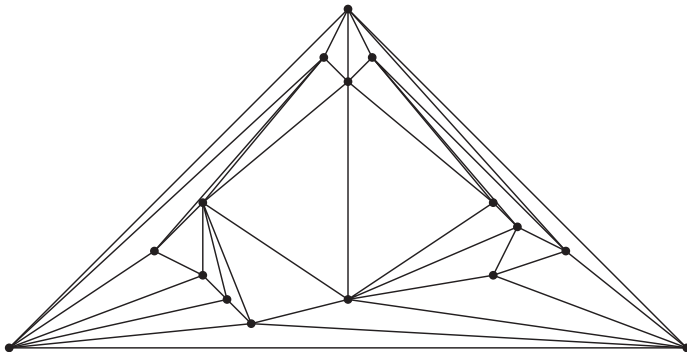
Annahme: Aussage gilt für alle Tiefen $\geq t + 1$

Schritt: 2 Knoten G, H auf Tiefe t gleich kodiert

\Leftrightarrow Nach Konstruktion: Folge der Klassen, i.e., der Kodierungen der Kinder G_i (auf $t + 1$) gleich

\Leftrightarrow i.A. G, H isomorph

Inkrementelles Gitterlayout für planare Graphen



Kanonische Knotenordnung

Idee: Bestimme geeignete Knotenordnung und zeichne dann inkrementell [de Fraysseix, Pach, Pollack '90]

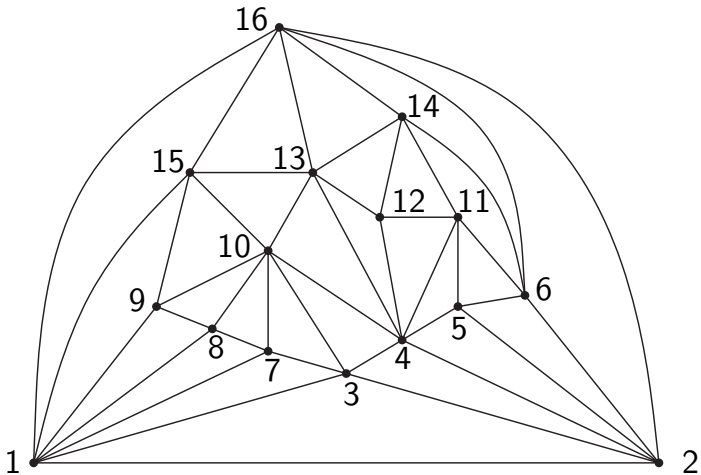
Idee: Bestimme geeignete Knotenordnung und zeichne dann inkrementell [de Fraysseix, Pach, Pollack '90]

Definition: Kanonische Knotenordnung

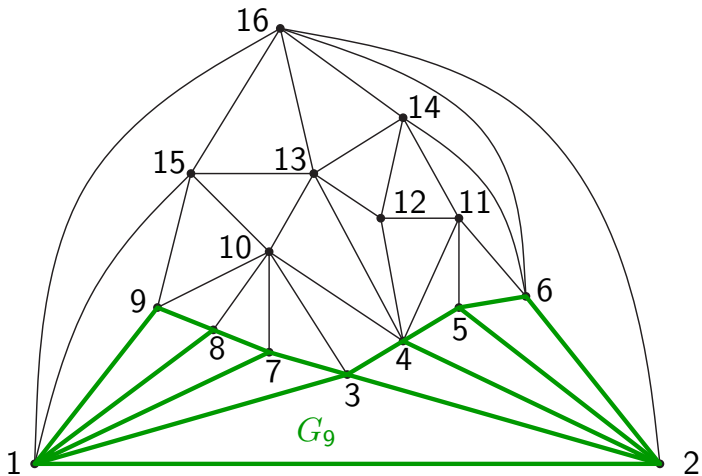
Sei $G = (V, E)$ ein triangulierter, planar eingebetteter Graph mit $n \geq 3$ Knoten. Eine Knotenordnung $\pi = (v_1, v_2, \dots, v_n)$ heißt *kanonische Ordnung*, falls gilt

1. der von $\{v_1, \dots, v_k\}$ induzierte Teilgraph G_k ist 2-zusammenhängend und intern trianguliert
2. (v_1, v_2) ist Außenkante von G_k
3. für $k < n$ liegt v_{k+1} in der äußeren Facette von G_k und alle Nachbarn von v_{k+1} in G_k bilden ein Intervall auf dem Rand $C_o(G_k)$ der äußeren Facette von G_k

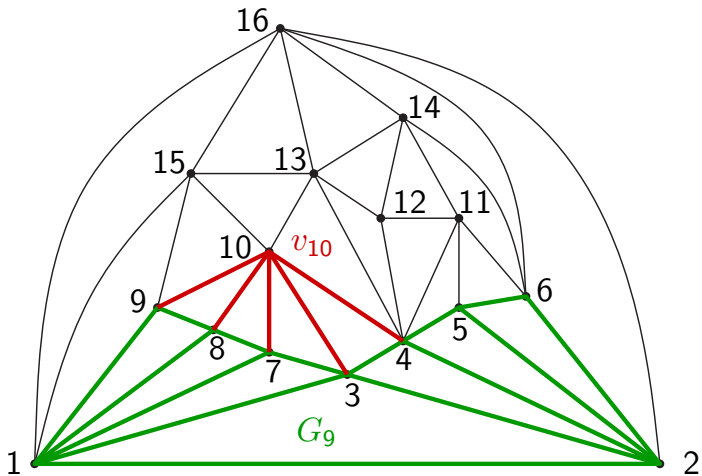
Beispiel kanonische Ordnung



Beispiel kanonische Ordnung



Beispiel kanonische Ordnung



Existenz einer kanonischen Knotenordnung

OBdA sei G trianguliert
(sonst tu's, benutze's und mach's wieder rückgängig)

OBdA sei G trianguliert
(sonst tu's, benutze's und mach's wieder rückgängig)

Lemma

Jeder triangulierte, planar eingebettete Graph besitzt eine kanonische Ordnung.

OBdA sei G trianguliert
(sonst tu's, benutze's und mach's wieder rückgängig)

Lemma

Jeder triangulierte, planar eingebettete Graph besitzt eine kanonische Ordnung.

Beweisidee: Für $n \leq 3$ klar, für $n \geq 4$ rückwärts.

Für $k = n$ gelten Bedingungen da $G_n = G$

Sei $k < n$ und Bed. gelten für G_{k+i}

OBdA sei G trianguliert
(sonst tu's, benutze's und mach's wieder rückgängig)

Lemma

Jeder triangulierte, planar eingebettete Graph besitzt eine kanonische Ordnung.

Beweisidee: Für $n \leq 3$ klar, für $n \geq 4$ rückwärts.

Für $k = n$ gelten Bedingungen da $G_n = G$

Sei $k < n$ und Bed. gelten für G_{k+i}

Finde $w \neq v_1, v_2$ der nicht Endp. einer *Sehne* von $C_0(G_k)$ ist:

$C_0(G_k)$ hat keine Sehne $\Rightarrow \checkmark$

suche minimale Sehne \Rightarrow wähle eingeschlossenes $w \checkmark$

Algorithm 1: Canonical-Ordering

```
1 forall  $v \in V$  do
2    $\lfloor$  chords( $v$ )  $\leftarrow$  0; out( $v$ )  $\leftarrow$  false; mark( $v$ )  $\leftarrow$  false;
3   out( $v_1$ ), out( $v_2$ ), out( $v_n$ )  $\leftarrow$  true;
4   for  $k = n$  to 3 do
5     wähle  $v \neq v_1, v_2$  mit mark( $v$ ) = false, out( $v$ ) = true,
        chords( $v$ ) = 0;
6      $v_k \leftarrow v$ ; mark( $v$ )  $\leftarrow$  true;
7      $(w_1 = v_1, w_2, \dots, w_{t-1}, w_t = v_2) \leftarrow C_o(G_{k-1})$ ;
8      $(w_p, \dots, w_q) \leftarrow$  unmarkierte Nachbarn von  $v_k$ ;
9     out( $w_i$ )  $\leftarrow$  true for all  $p < i < q$ ;
10    aktualisiere chords( $\cdot$ ) für diese  $w_i$  und ihre Nachbarn;
```

Zeile 5: Knoten v existiert wegen Lemma immer

Details zum Algorithmus

Zeile 5: Knoten v existiert wegen Lemma immer

Laufzeit: Halte Liste aller unmarkierten Knoten vor

Zeile 5: Knoten v existiert wegen Lemma immer

Laufzeit: Halte Liste aller unmarkierten Knoten vor

Zeile 10:

falls $q = p + 1$ (Sehne!) verringere $\text{chords}(p)$, $\text{chords}(q)$ um 1
sonst betrachte alle w_i ($p < i < q$), und w_i 's Nachbarn z :

Zeile 5: Knoten v existiert wegen Lemma immer

Laufzeit: Halte Liste aller unmarkierten Knoten vor

Zeile 10:

falls $q = p + 1$ (Sehne!) verringere $\text{chords}(p)$, $\text{chords}(q)$ um 1
sonst betrachte alle w_i ($p < i < q$), und w_i 's Nachbarn z :

für z mit $\text{out}(z) = \text{true}$ und $z \neq w_{i-1}, w_{i+1}$ ist $\{z, w_i\}$ Sehne

\Rightarrow erhöhe $\text{chords}(w_i)$

ist zudem $z \notin \{w_{p+1}, \dots, w_{q-1}\} \Rightarrow$ erhöhe $\text{chords}(z)$

Zeile 5: Knoten v existiert wegen Lemma immer

Laufzeit: Halte Liste aller unmarkierten Knoten vor

Zeile 10:

falls $q = p + 1$ (Sehne!) verringere $\text{chords}(p)$, $\text{chords}(q)$ um 1
sonst betrachte alle w_i ($p < i < q$), und w_i 's Nachbarn z :

für z mit $\text{out}(z) = \text{true}$ und $z \neq w_{i-1}, w_{i+1}$ ist $\{z, w_i\}$ Sehne

\Rightarrow erhöhe $\text{chords}(w_i)$

ist zudem $z \notin \{w_{p+1}, \dots, w_{q-1}\} \Rightarrow$ erhöhe $\text{chords}(z)$

Laufzeit: Benötigt $O(\text{deg}(w_i))$ Zeit, nur einmal pro Knoten
 \Rightarrow insgesamt $O(n)$

Ein: tria., planar eingeb. G , kanon. KO, $f_0 = \Delta(v_1, v_2, v_n)$

Aus: Geradlinige, planare Zeichnung auf Gitterpunkten

Ein: tria., planar eingeb. G , kanon. KO, $f_0 = \Delta(v_1, v_2, v_n)$

Aus: Geradlinige, planare Zeichnung auf Gitterpunkten

Idee: Inkrementell, horizontales "Platzmachen"

Ein: tria., planar eingeb. G , kanon. KO, $f_0 = \Delta(v_1, v_2, v_n)$

Aus: Geradlinige, planare Zeichnung auf Gitterpunkten

Idee: Inkrementell, horizontales "Platzmachen"

- Invarianten:**
- (i) $v_1 = (0, 0)$, $v_2 = (2k - 4, 0)$
 - (ii) Im UZS sei $C_0(G_k) = (v_1 = w_1, \dots, w_t = v_2)$
es gilt $x(w_1) <, \dots, < x(w_t)$
 - (iii) $e \in E \setminus \{v_1, v_2\}$: Steigung(e) = ± 1

Ein: tria., planar eingeb. G , kanon. KO, $f_0 = \Delta(v_1, v_2, v_n)$

Aus: Geradlinige, planare Zeichnung auf Gitterpunkten

Idee: Inkrementell, horizontales "Platzmachen"

Invarianten: (i) $v_1 = (0, 0)$, $v_2 = (2k - 4, 0)$

(ii) Im UZS sei $C_0(G_k) = (v_1 = w_1, \dots, w_t = v_2)$
es gilt $x(w_1) < \dots < x(w_t)$

(iii) $e \in E \setminus \{v_1, v_2\}$: Steigung(e) = ± 1

Bezeichnungen: (i) $N(v_k)$ auf $C_0(G_k)$: w_p, \dots, w_q

(ii) $L(v)$ = abhängige Knoten
(beim Verschieben)

(iii) $\mu(a, b)$ Schnittpunkt der Geraden
durch a/b mit Steigungen $1/-1$

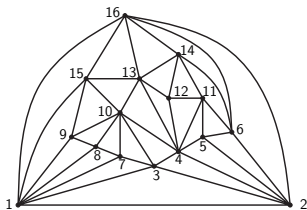
Setze bei Start: $v_1 = (0, 0)$, $v_2 = (2, 0)$, $v_3 = (1, 1)$,
 $L(v_i) = \{v_i\}$

Setze bei Start: $v_1 = (0, 0)$, $v_2 = (2, 0)$, $v_3 = (1, 1)$,
 $L(v_i) = \{v_i\}$

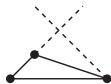
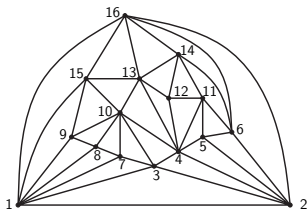
Algorithm 2: Incremental Draw

```
1 for  $k = 4, \dots, n$  do
2   schiebe  $\bigcup_{i=p+1}^{q-1} L(w_i)$  um 1 nach rechts
3   schiebe  $\bigcup_{i=q}^t L(w_i)$  um 2 nach rechts
4    $v_k \leftarrow \mu(w_p, w_q)$ 
5    $L(v_k) \leftarrow \{v_k\} \cup \bigcup_{i=p+1}^{q-1} L(w_i)$ 
```

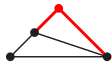
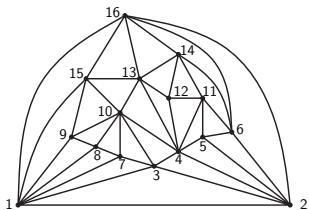

Beispiel



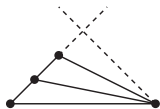
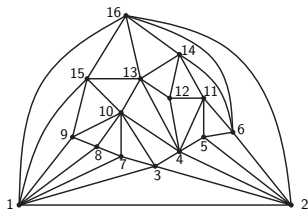
Beispiel



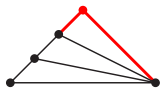
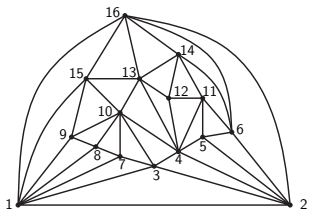
Beispiel



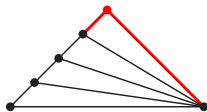
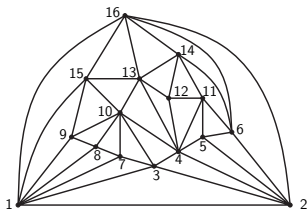
Beispiel



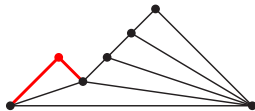
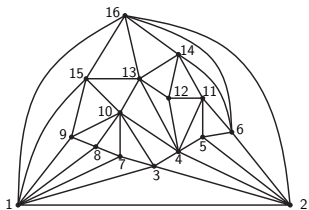
Beispiel



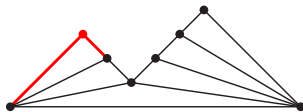
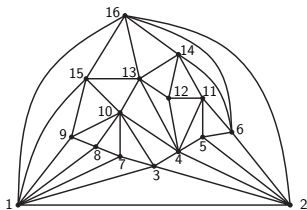
Beispiel



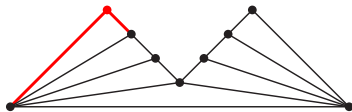
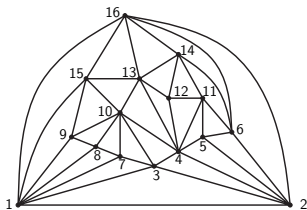
Beispiel



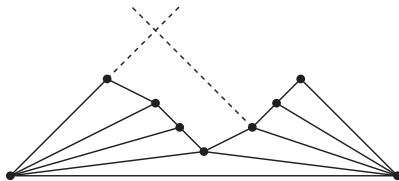
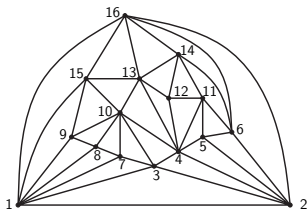
Beispiel



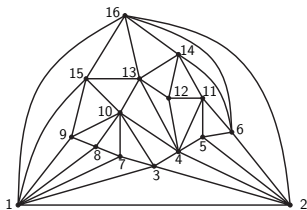
Beispiel



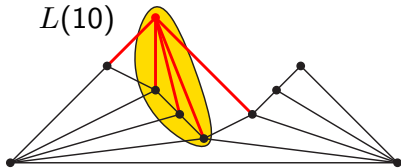
Beispiel



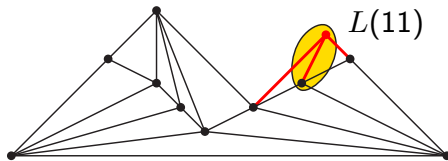
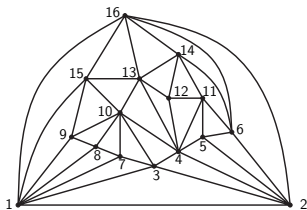
Beispiel



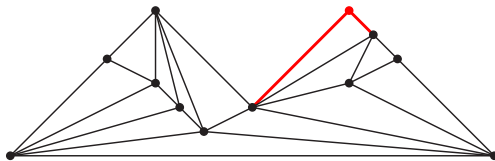
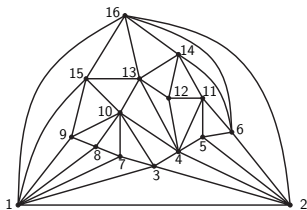
$L(10)$



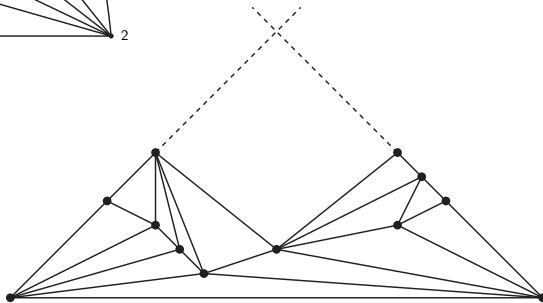
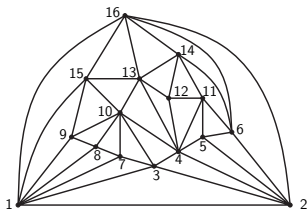
Beispiel



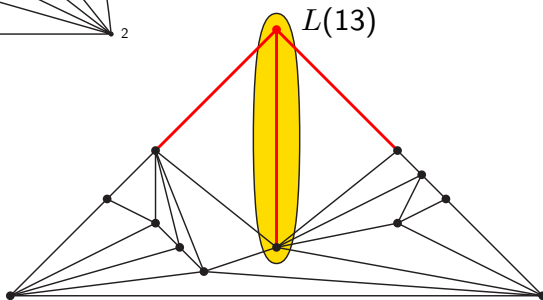
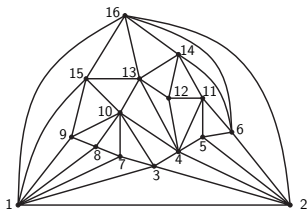
Beispiel



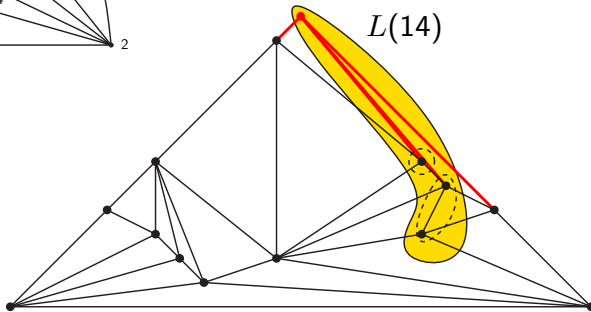
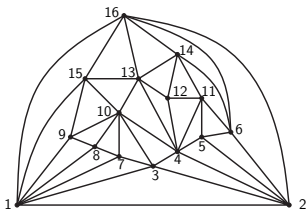
Beispiel



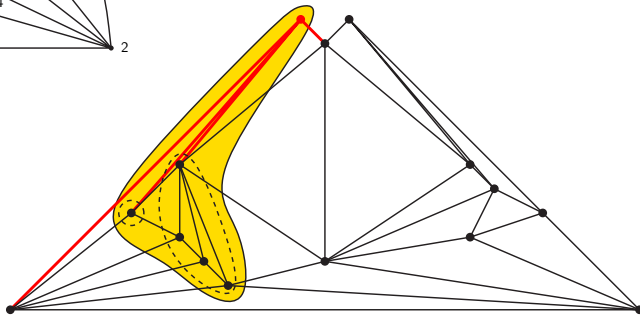
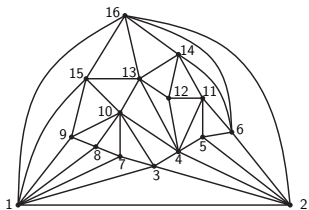
Beispiel



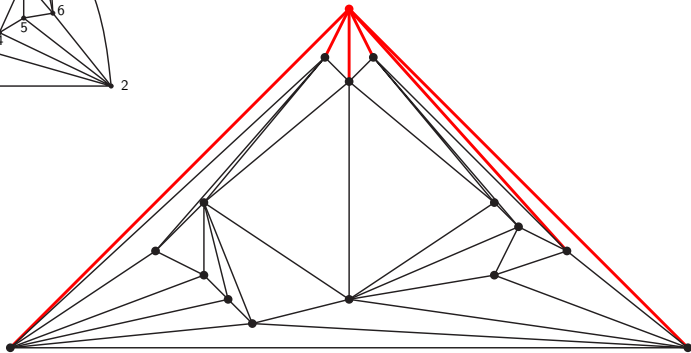
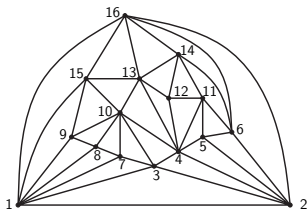
Beispiel



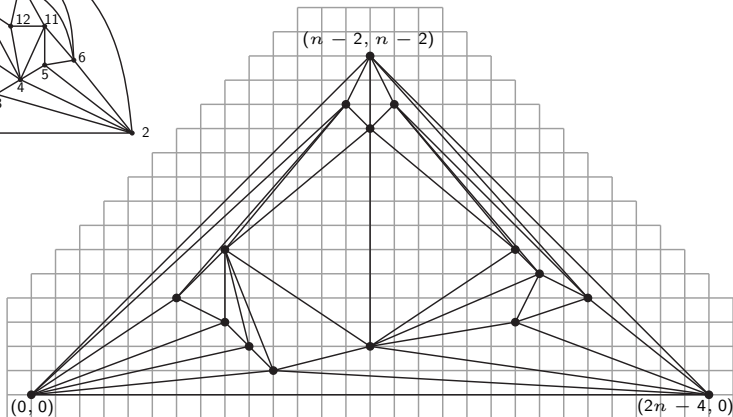
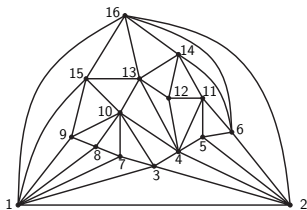
Beispiel



Beispiel



Beispiel



Aufgabe 4.1

Charakterisierung aufwärtsplanarer Graphen:

Für einen gerichteten azyklischen Graphen $D = (V, A)$ gilt:
aufwärtsplanar \Leftrightarrow aufsp. Teilgraph eines planaren s - t -Graphen H
(s - t -Graph: azykl. Digraph mit eindeutiger Quelle s / Senke t und mit Kante (s, t))

\Rightarrow : Sei s Quelle mit tiefster y -Koord., t Senke mit höchster y -Koord.

- 1 Füge (s, t) ein
- 2 \forall Senke $q \neq t$ suche vertikal nächste (u, v) , baue (q, v) (oder (q, t))
- 3 Analog für Quellen

\Leftarrow :

- 1 Bestimme topologische Nummerierung von H für y -Koordinaten, respektiere zyklische Ordnung der Kanten, zeichne, z.B., knotenweise v.l.n.r., wird aufwärtsplanar.
- 2 D ist Subgraph von H , also D aufwärtsplanar.

Aufgabe 4.1

Charakterisierung aufwärtsplanarer Graphen:

Für einen gerichteten azyklischen Graphen $D = (V, A)$ gilt:
aufwärtsplanar \Leftrightarrow aufsp. Teilgraph eines planaren s - t -Graphen H
(s - t -Graph: azykl. Digraph mit eindeutiger Quelle s / Senke t und mit Kante (s, t))

\Rightarrow : Sei s Quelle mit tiefster y -Koord., t Senke mit höchster y -Koord.

- 1 Füge (s, t) ein
- 2 \forall Senke $q \neq t$ suche vertikal nächste (u, v) , baue (q, v) (oder (q, t))
- 3 Analog für Quellen

\Leftarrow :

- 1 Bestimme topologische Nummerierung von H für y -Koordinaten, respektiere zyklische Ordnung der Kanten, zeichne, z.B., knotenweise v.l.n.r., wird aufwärtsplanar.
- 2 D ist Subgraph von H , also D aufwärtsplanar.

Aufgabe 5.3

- (a) Sei $\pi : \{1, \dots, n\} \rightarrow \{1, \dots, n\}$ eine Permutation. Ein Paar (i, j) mit $1 \leq i < j \leq n$ heißt Inversion, wenn $\pi(i) > \pi(j)$. Entwerfen Sie einen Algorithmus, der die Anzahl der Inversionen einer Permutation von n Elementen in $O(n \log n)$ Zeit berechnet

Aufgabe 6.1

In der Vorlesung wurde ein einfaches Verfahren zum Zeichnen von Bäumen vorgestellt, das jedem Knoten v die Koordinaten $x(v) = \text{pre-/in-/postorder}(v)$ und $y(v) = -\text{tiefe}(v)$ zuordnet.

Garantiert dieses Verfahren auch dann noch eine kreuzungsfreie geradlinige Gitterzeichnung, wenn man für die x -Koordinaten die sogenannte *levelorder*-Nummerierung verwendet, die nacheinander in einer Breitensuche alle Knoten der gleichen Tiefe von links nach rechts besucht?

Aufgabe 6.4

Für den Algorithmus von Carlson und Eppstein zum konvexen Zeichnen von Bäumen mit optimaler Winkelauflösung aus der Vorlesung wurden drei einfache Basisfälle ausgeschlossen. Wie und mit welcher optimalen Winkelauflösung lässt sich

- (a) ein Pfad
- (b) eine nicht-eingebettete Ranke
- (c) eine nicht-eingebettete Tripel-Ranke

konvex zeichnen?

Wie geht es weiter?

- »» Praktikum Graphengeneratoren im SS 11
- »» Vorlesung Algorithmische Geometrie im SS 11
- »» (Proseminar $P \neq NP$ Vermutung)
- »» Studien/Bachelor- und Master-/Diplomarbeiten:
 - »» Graphenclustern, Robustheit, Dynamik
 - »» Schematisches Graphenzeichnen
 - »» Sensornetzwerke
 - »» Routenplanung

Wie geht es weiter?

- » Praktikum Graphengeneratoren im SS 11
- » Vorlesung Algorithmische Geometrie im SS 11
- » (Proseminar $P \neq NP$ Vermutung)
- » Studien/Bachelor- und Master-/Diplomarbeiten:
 - » Graphenclustern, Robustheit, Dynamik
 - » Schematisches Graphenzeichnen
 - » Sensornetzwerke
 - » Routenplanung
- » Sprechstunden in den Semesterferien:
 - » ab 17.02. – 25.02.
 - » ab 07.03. (meistens)
 - » nicht zw.16.03. – 05.04.

Wie geht es weiter?

- » Praktikum Graphengeneratoren im SS 11
 - » Vorlesung Algorithmische Geometrie im SS 11
 - » (Proseminar $P \neq NP$ Vermutung)
 - » Studien/Bachelor- und Master-/Diplomarbeiten:
 - » Graphenclustern, Robustheit, Dynamik
 - » Schematisches Graphenzeichnen
 - » Sensornetzwerke
 - » Routenplanung
 - » Sprechstunden in den Semesterferien:
 - » ab 17.02. – 25.02.
 - » ab 07.03. (meistens)
 - » nicht zw.16.03. – 05.04.
- Viel Erfolg in der Prüfung!